

有限体積マルチモーメント移流 法と電磁ブラソフシミュレーション

簗島 敬(海洋研究開発機構)

松本 洋介(千葉大学)

天野 孝伸(東京大学)

プラズマ運動論的シミュレーション

$$\frac{\partial f_s}{\partial t} + \mathbf{v} \cdot \nabla_x f_s + \frac{q_s}{m_s} \left(\mathbf{E} + \frac{\mathbf{v} \times \mathbf{B}}{c} \right) \cdot \nabla_v f_s = 0, \quad s: \text{粒子種}$$

$$\frac{\partial \mathbf{E}}{\partial t} = c \nabla \times \mathbf{B} - 4\pi \mathbf{j}, \quad \frac{\partial \mathbf{B}}{\partial t} = -c \nabla \times \mathbf{E}, \quad \mathbf{j} = \sum_s q_s \int \mathbf{v} f_s d\mathbf{v}.$$

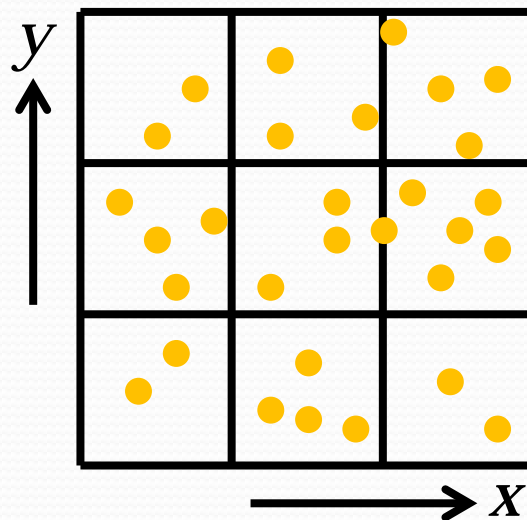
- 宇宙プラズマの第一原理である無衝突ボルツマン方程式 (**ブラソフ方程式**) とマクスウェル方程式を連立して解く
- 全ての運動論的効果を含む (イオン-電子差、非マクスウェル分布)
- 電流を介して非線形相互作用

粒子法 (Particle-in-Cell; PIC)

$$\frac{d\mathbf{x}_n}{dt} = \mathbf{v}_n, \quad n: \text{粒子インデックス}$$

$$\frac{d\mathbf{v}_n}{dt} = \frac{q_n}{m_n} \left(\mathbf{E} + \frac{\mathbf{v}_n \times \mathbf{B}}{c} \right),$$

+ Maxwell eq.



- ブラソフ方程式は「超粒子」を用いてラグランジュ的に解く
- マクスウェル方程式はオイラー的に解く
- ○少計算機資源でも動く、コードがシンプルでロバスト、実績十分
- △数値ノイズ大、並列計算の効率化に要工夫

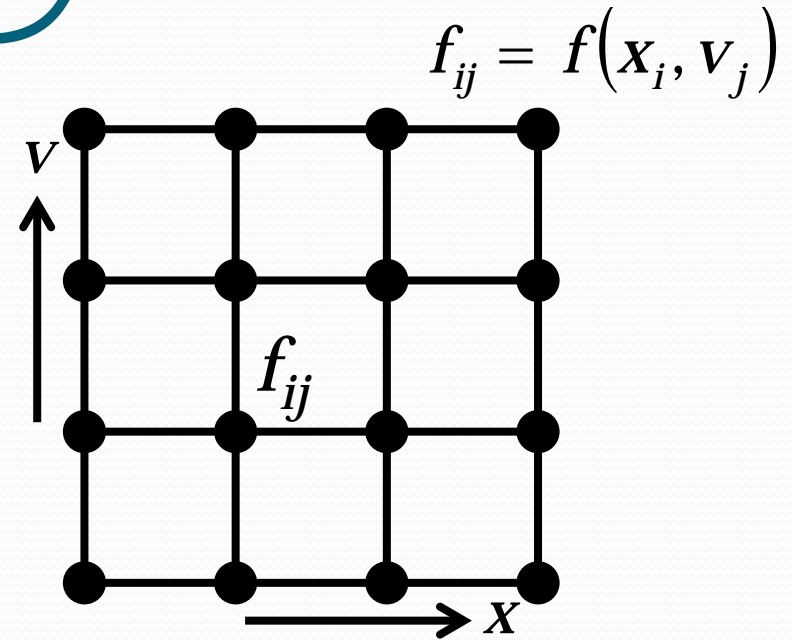
ブラソフシミュレーション

演算子分離 (Cheng & Knorr, 1976)

$$\frac{\partial f_s}{\partial t} + \mathbf{v} \cdot \nabla_x f_s = 0, \quad s: \text{粒子種}$$

$$\frac{\partial f_s}{\partial t} + \frac{q_s}{m_s} \left(\mathbf{E} + \frac{\mathbf{v} \times \mathbf{B}}{c} \right) \cdot \nabla_v f_s = 0,$$

+ Maxwell eq.



- ブラソフ方程式は分布関数を位相空間で離散化してオイラー的に解く
- マクスウェル方程式もオイラー的に解く
- **○数値ノイズ無し、並列計算容易**
- **△計算機コスト大、計算手法**

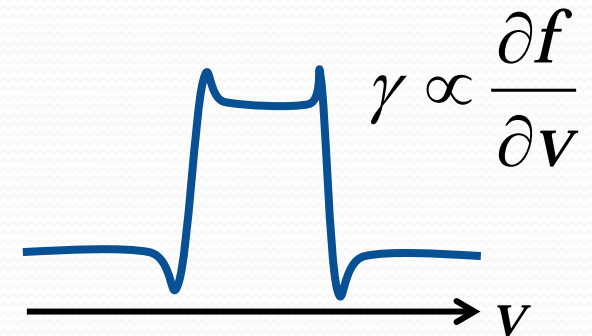
ブラソフシミュレーションの難点

- (特に) **磁場**がある場合の速度空間の更新

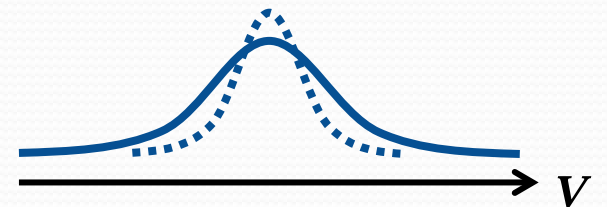
移流
$$\frac{\partial f_s}{\partial t} + \frac{q_s}{m_s} \mathbf{E} \cdot \nabla_{\mathbf{v}} f_s = 0,$$

回転
$$\frac{\partial f_s}{\partial t} + \frac{q_s}{m_s} \frac{\mathbf{v} \times \mathbf{B}}{c} \cdot \nabla_{\mathbf{v}} f_s = 0,$$

- ~数百回転以上の計算
- 数値誤差がもたらす非物理的現象
 - 振動 => プラズマ波動励起
 - 拡散 => プラズマ加熱、波動抑制

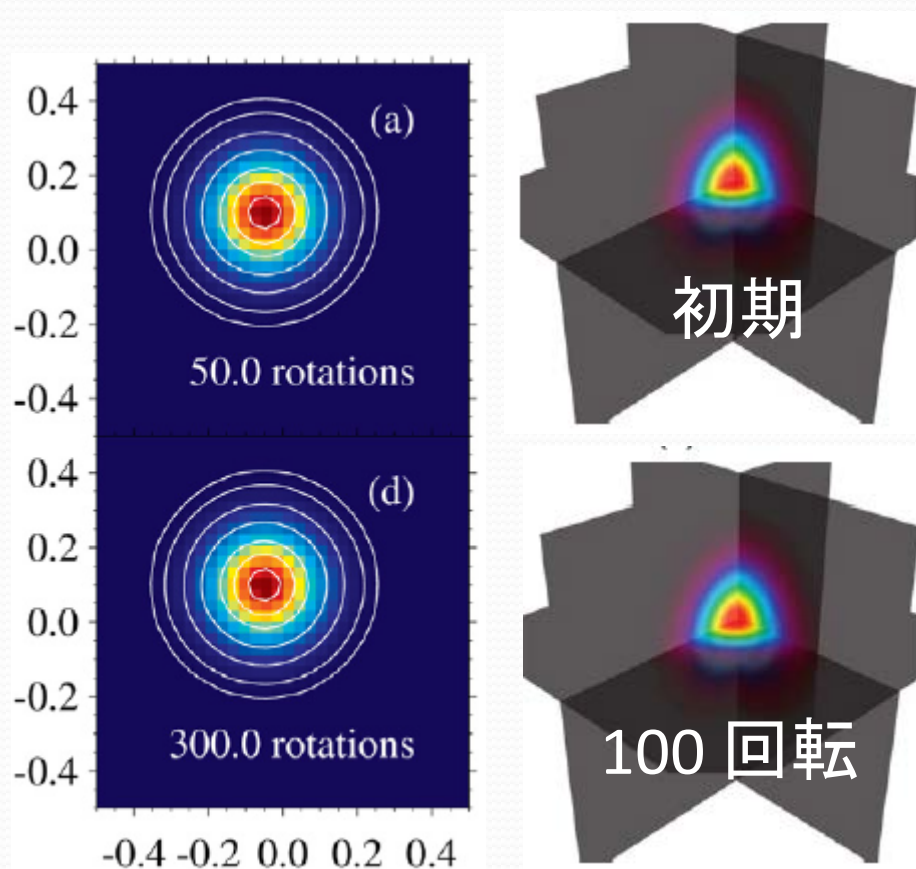
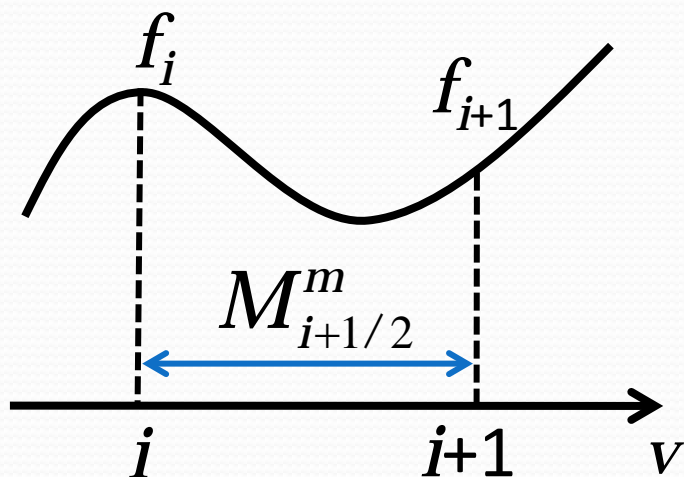


$$P \propto \int v^2 f dv$$



マルチモーメント移流(MMA)法

- 移流方程式ソルバ
- 物理量 f と0-2次の区分化
モーメント M^m を同時に更新
 - 質量・中心値・分散の保存
- ブラソフシミュレーションの
速度空間更新に適用

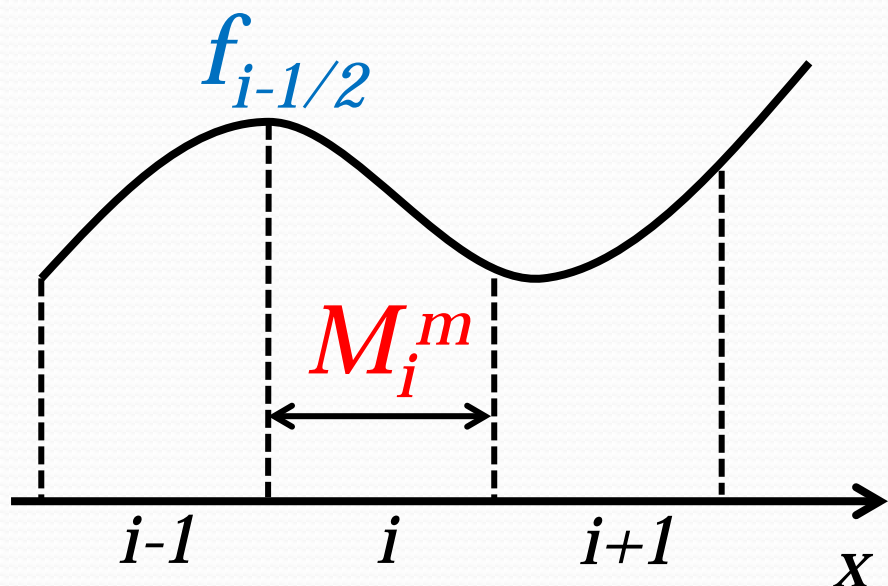


Minoshima+ (2011, 2013)

MMA法の改良

- MMA法は複雑
 - 点値とセル積分値を保持するスタガード配置
 - セミラグランジュ法を採用したため、多次元補間関数の構築とその厳密な積分
- アルゴリズムは単純であるべし
- 点値は保持しない
 - コロケート配置
 - 有限体積法。数値流束の評価は1次元補間

有限体積MMA (MMAFV)



- 0-2次までのセル平均モーメント(3個)を保持
- 風下1セル+風上2セルの9個の物理量からセル境界値を求める
- 有限体積+ルンゲクッタ

$$M_i^m = \frac{1}{m! \Delta x} \int_{x_{i-1/2}}^{x_{i+1/2}} x^m f dx.$$

($m = 0, 1, 2$)

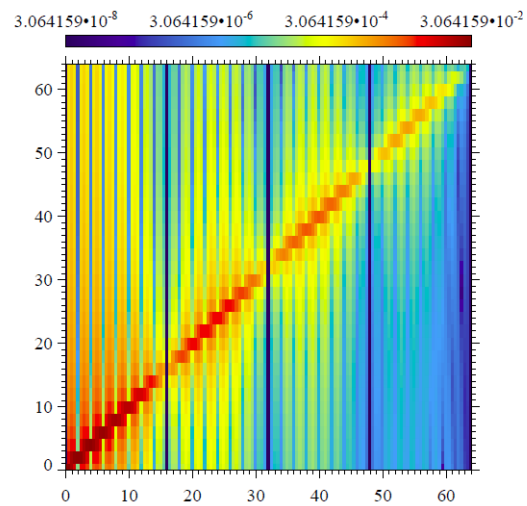
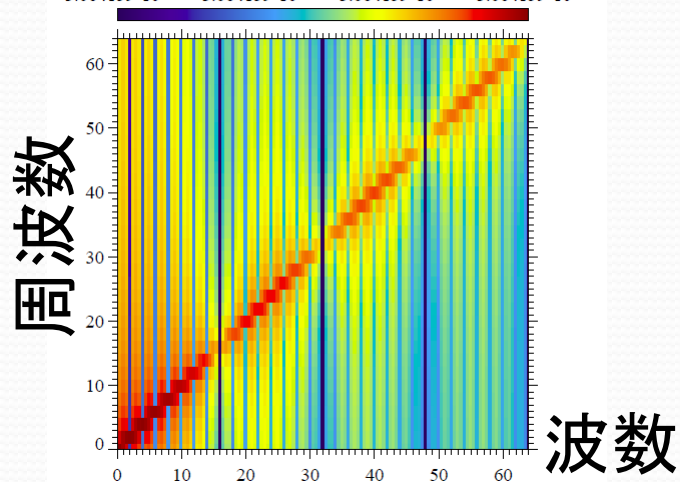
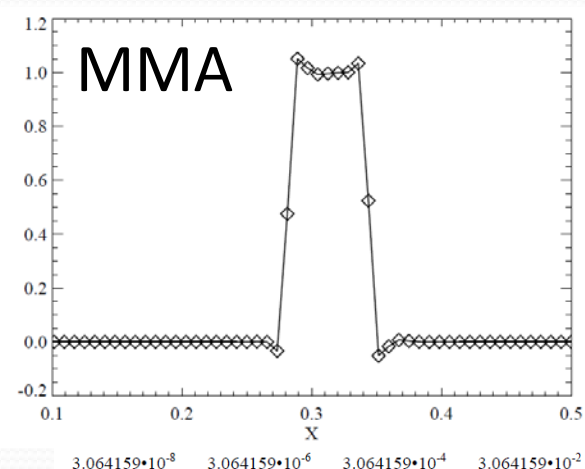
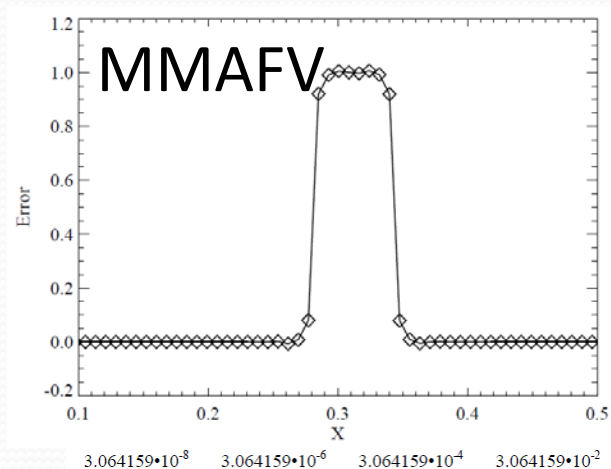
$$\frac{\partial M_i^0}{\partial t} = -u \frac{f_{i+1/2} - f_{i-1/2}}{\Delta x},$$

$$\frac{\partial M_i^m}{\partial t} = -u \frac{(x^m f)_{i+1/2} - (x^m f)_{i-1/2}}{m! \Delta x} + u M_i^{m-1}.$$

3セル用いるのは安定性とCFL条件向上のため

1次元移流テスト

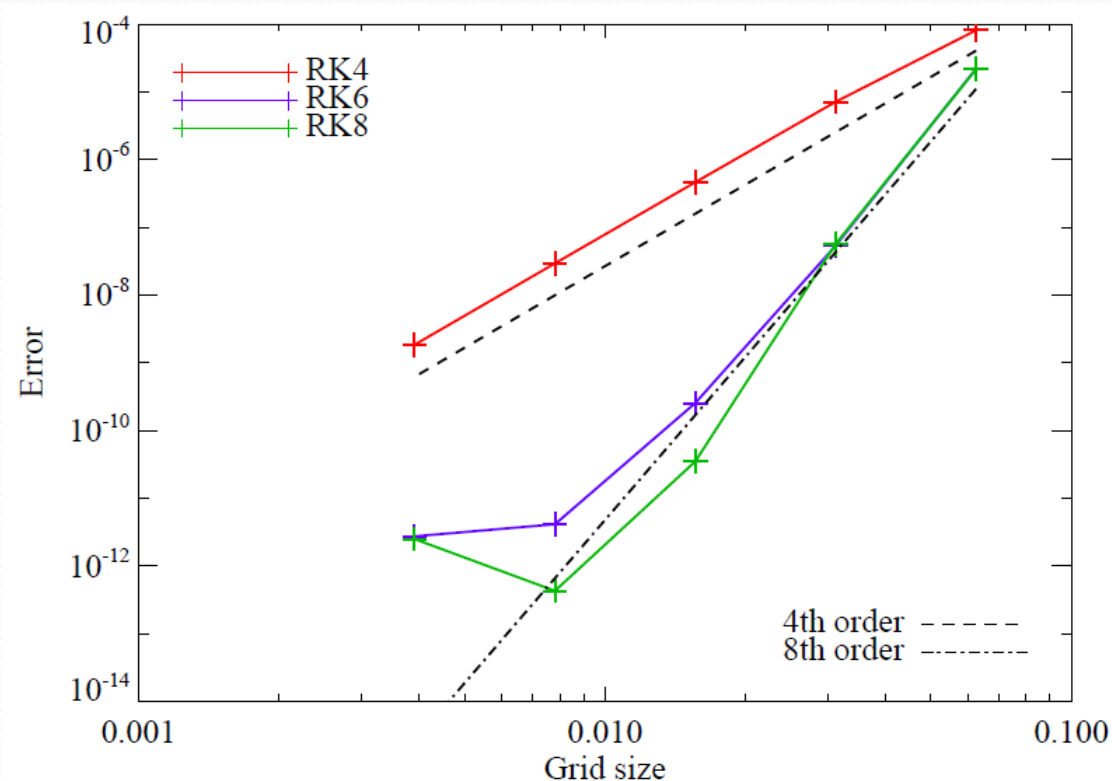
- 矩形波: MMAFVは短波長の解像度が上昇



1次元移流テスト

- ガウス分布: MMAFVの誤差・精度はRKの次数に依存
 - 実用上は4次でOK

| スキーム | 誤差 |
|------------|---------|
| MMAFV(RK4) | $2e-6$ |
| MMA | $5e-8$ |
| MMAFV(RK8) | $5e-11$ |



多次元化

$$M_{i,j}^{m,n} = \frac{1}{m!n!\Delta x\Delta y} \int_{x_{i-1/2}}^{x_{i+1/2}} \int_{y_{j-1/2}}^{y_{j+1/2}} x^m y^n f dx dy$$

fdy $M_{i,j}^{0,0}, M_{i,j}^{1,0}, M_{i,j}^{2,0}$

yfdy $M_{i,j}^{0,1}, M_{i,j}^{1,1}, M_{i,j}^{2,1}$

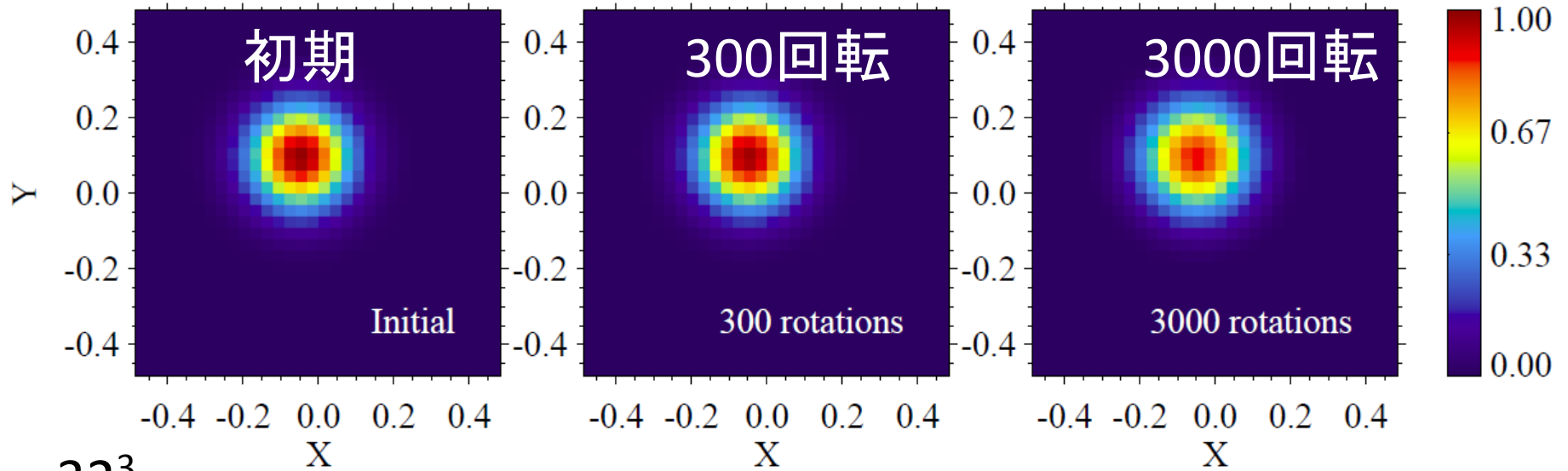
$y^2 fdy/2$ $M_{i,j}^{0,2}, M_{i,j}^{1,2}, M_{i,j}^{2,2}$

fdx *xfdx* $x^2 fdx/2$

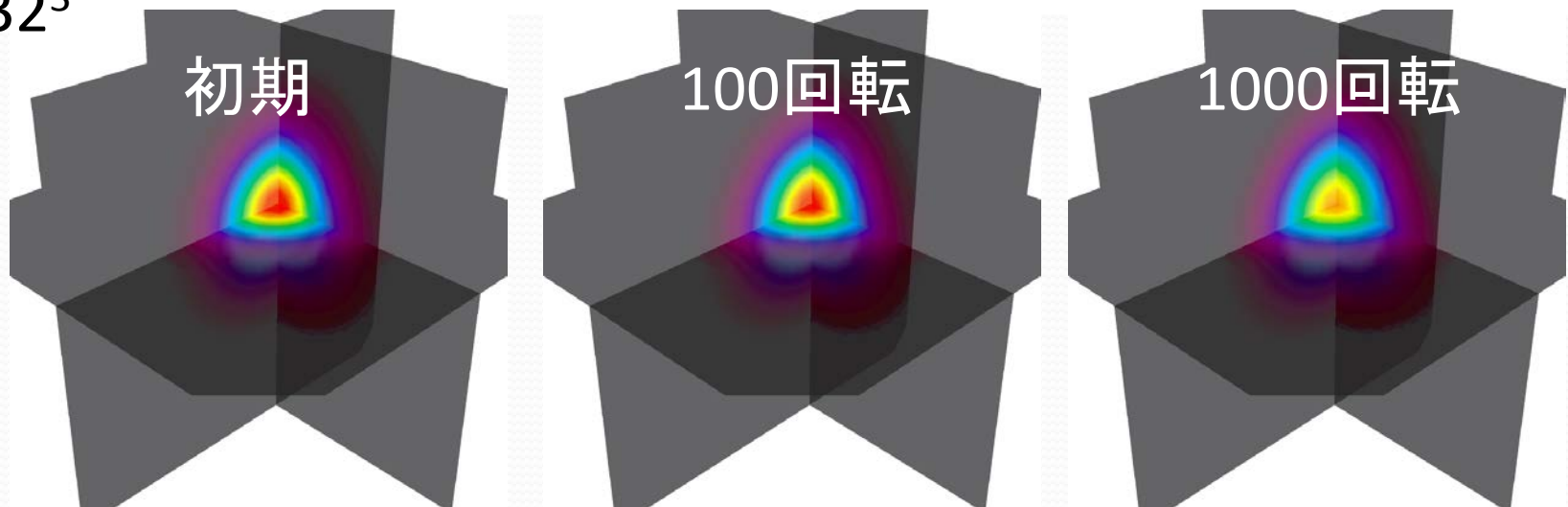
- 保持する更新量6個
- 単一セル内の2次元補間で評価するセル平均量
- 1次元補間で評価するセル表面量
- FV+RKで更新
- 3次元も同様(更新量10個)

多次元移流回転テスト

32^2



32^3



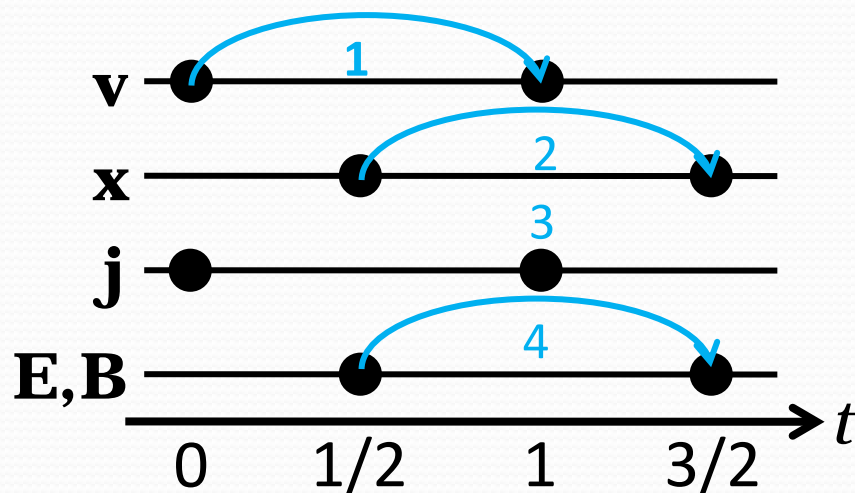
ブラソフシミュレーション

$$\frac{\partial f_s}{\partial t} + \mathbf{v} \cdot \nabla_x f_s = 0,$$

$$\frac{\partial f_s}{\partial t} + \frac{q_s}{m_s} \left(\mathbf{E} + \frac{\mathbf{v} \times \mathbf{B}}{c} \right) \cdot \nabla_v f_s = 0,$$

Maxwell eq.

粒子法で用いられる2次リーブ
フロッグ法
実空間と速度空間の定義時間
を半ステップずらす

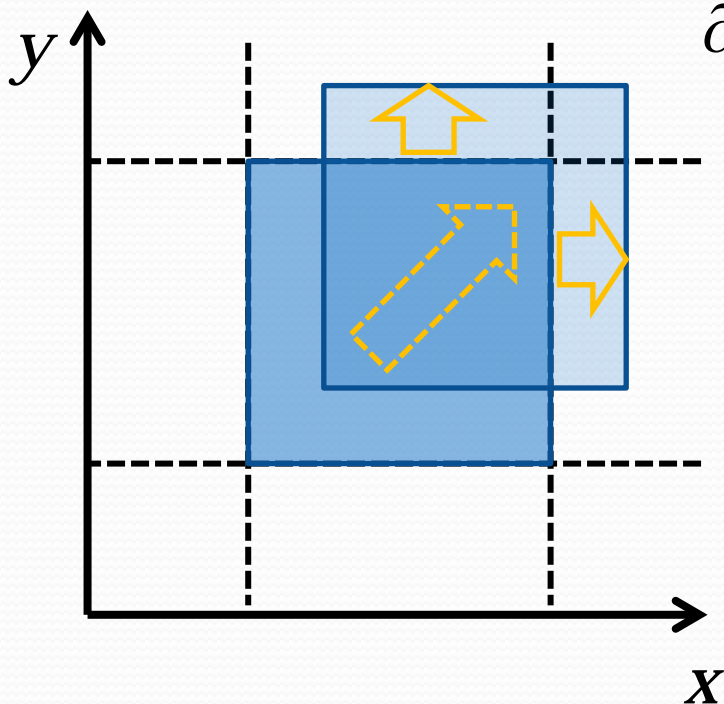


1. 速度空間をMMAFVで更新
2. 実空間を保存型セミラグランジュ法で更新
3. 電荷保存法により電流を計算
4. 電磁場を更新(FDTD)

電荷保存法

Umeda+ (2009)

$$\frac{\partial f_s}{\partial t} + \mathbf{v} \cdot \nabla f_s = 0 \quad \sum_s q_s \int d\mathbf{v} \quad \rightarrow \quad \frac{\partial \rho}{\partial t} + \nabla \cdot \mathbf{j} = 0.$$
$$\Rightarrow \nabla \cdot \mathbf{E} = 4\pi\rho$$
$$\frac{\partial}{\partial t} \nabla \cdot \mathbf{E} = -4\pi \nabla \cdot \mathbf{j}$$

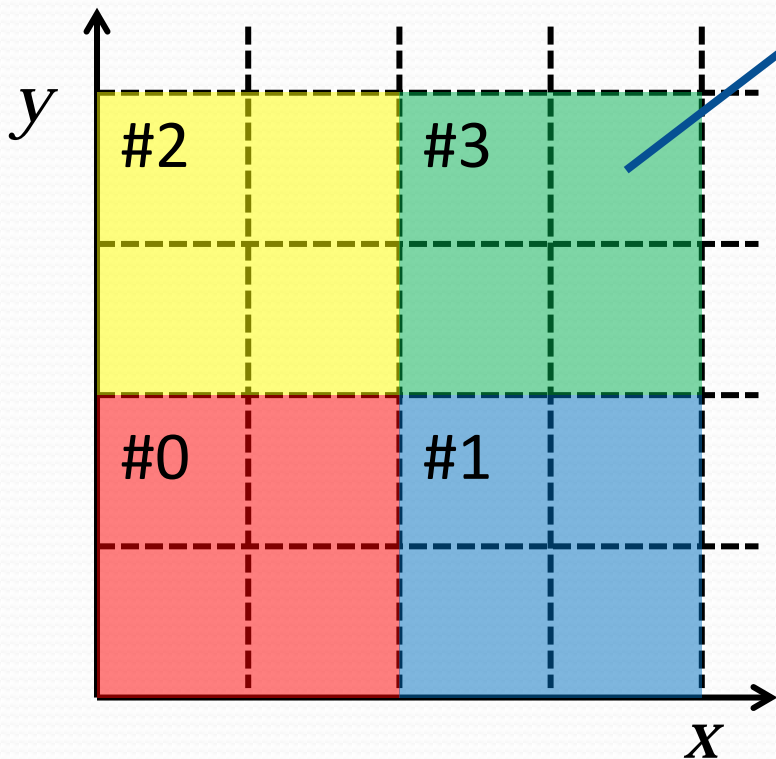


- 実空間移流を保存型スキームで解く
- その際の数値フラックスを速度空間で積分 = 電流
- ガウス則を自動的に満たす

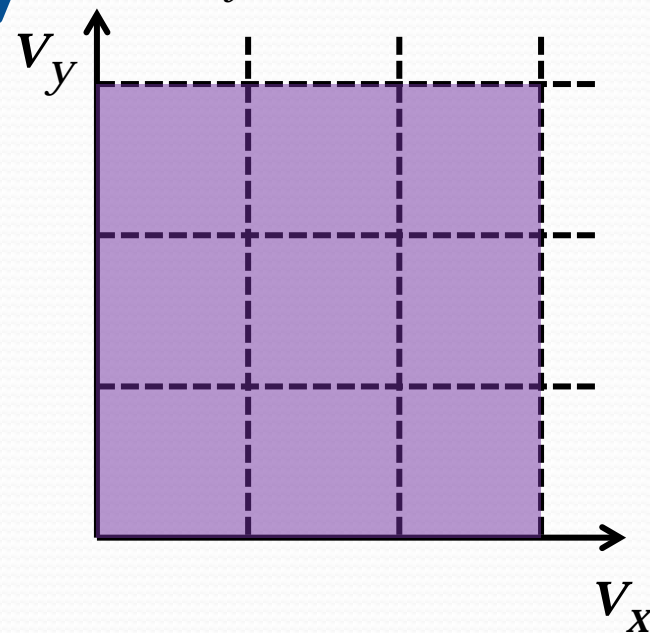
並列化

- MPI + OpenMP ハイブリッド

MPI実空間領域分割

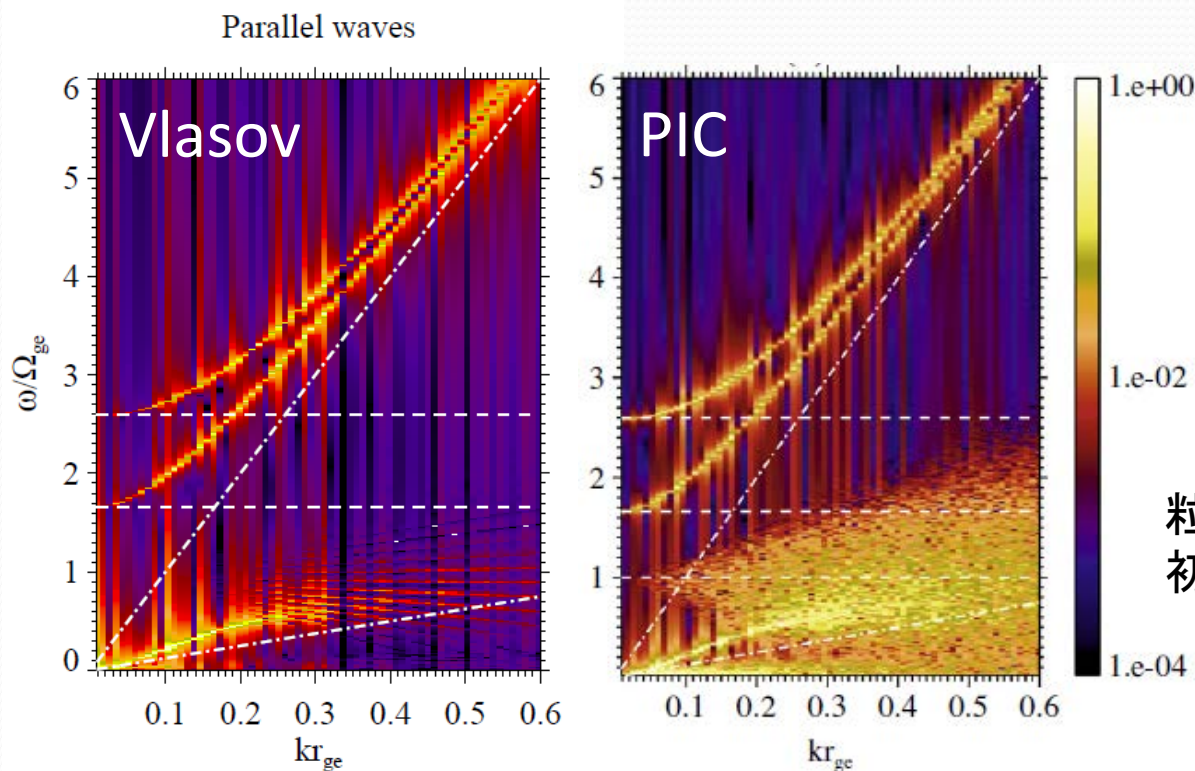


$f(v_x, v_y)$ 共有メモリ



平行伝播線形波動

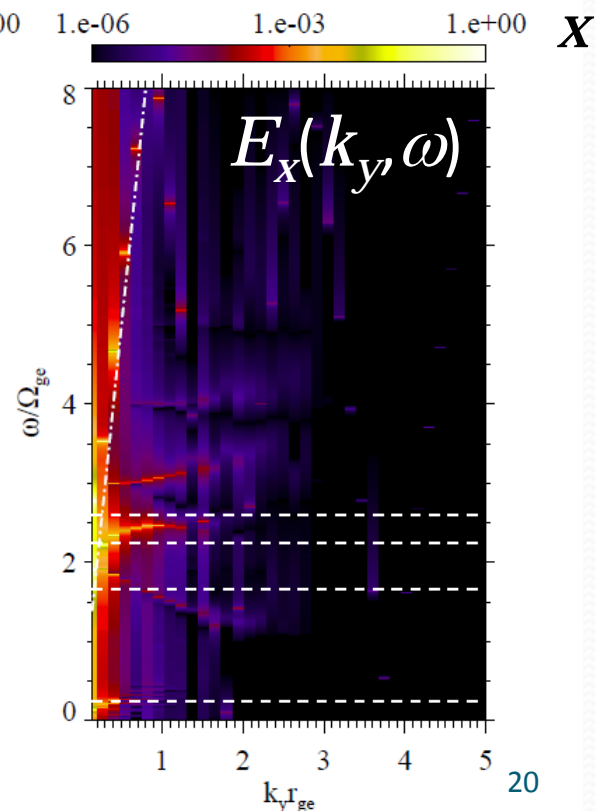
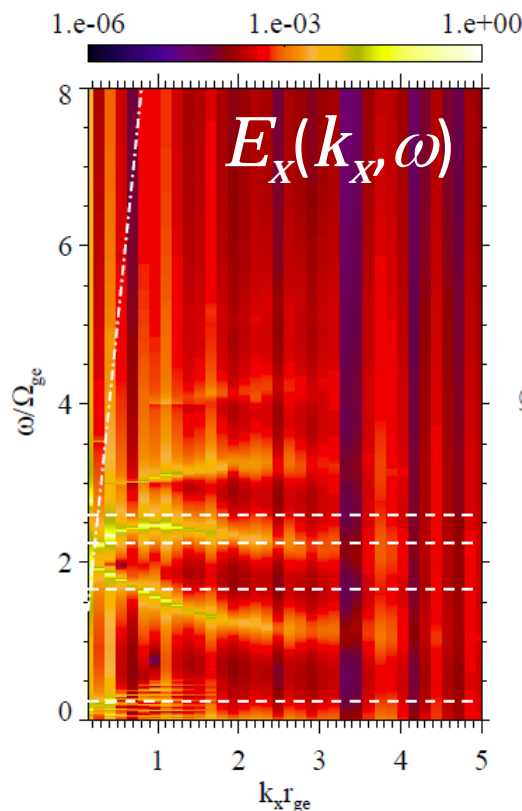
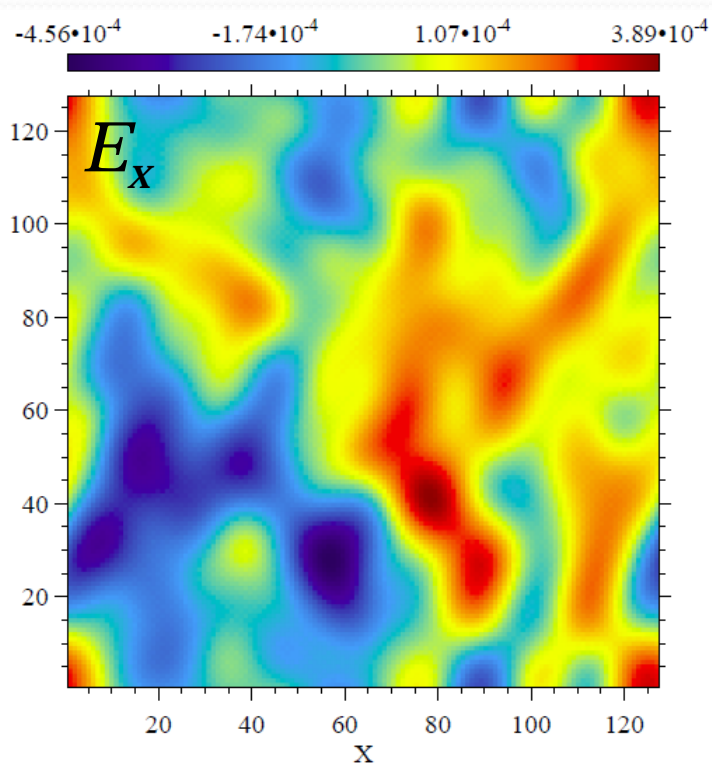
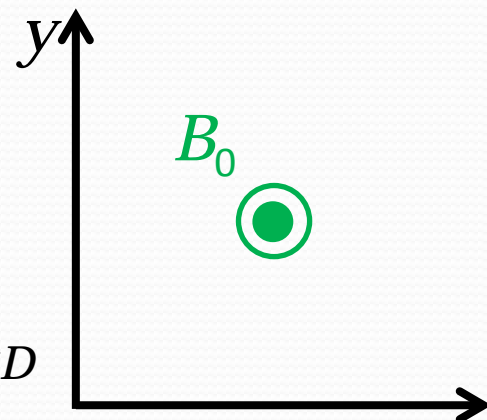
- 1X3V, 512x32³ grids
- $m_p/m_e=16$, $\omega_{pe}/\omega_{ge}=2$, $\beta_e=\beta_p=0.04$, $\Delta x=4\lambda_D$
- PICと同じメモリ使用量で比較



粒子法 : 12,500 ptcl/cell, $\Delta x=\lambda_D$
初期ノイズの与え方は異なる

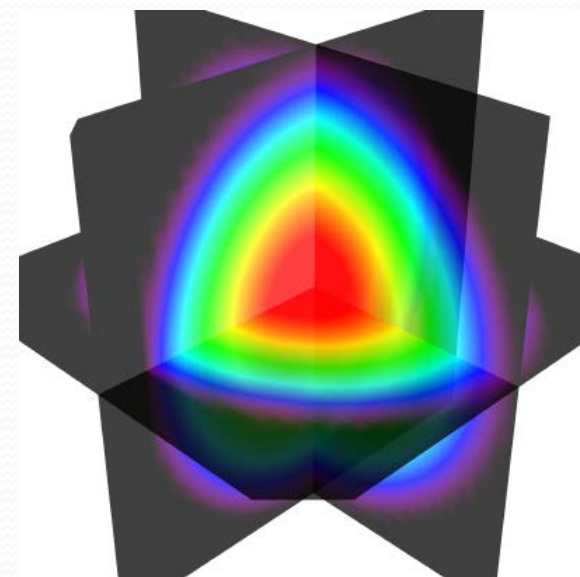
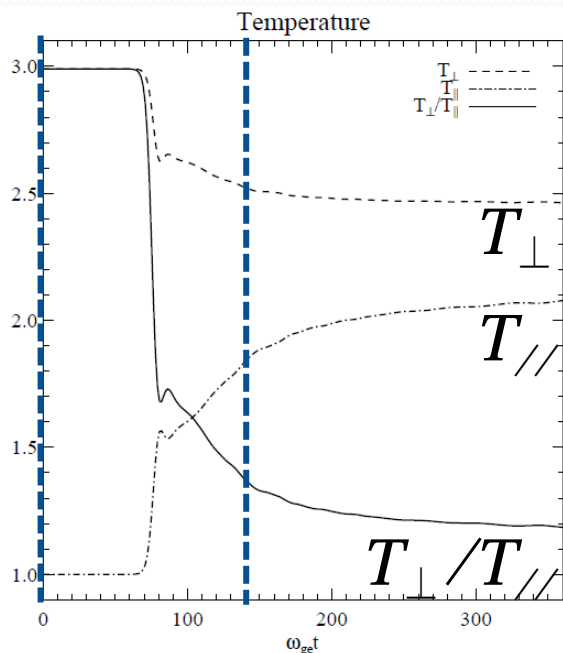
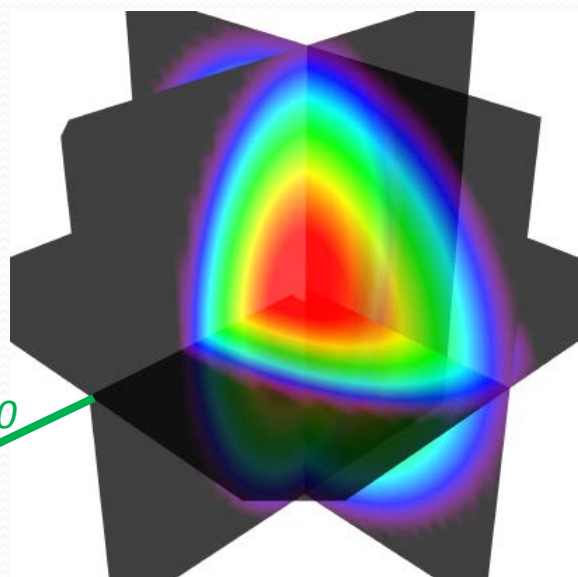
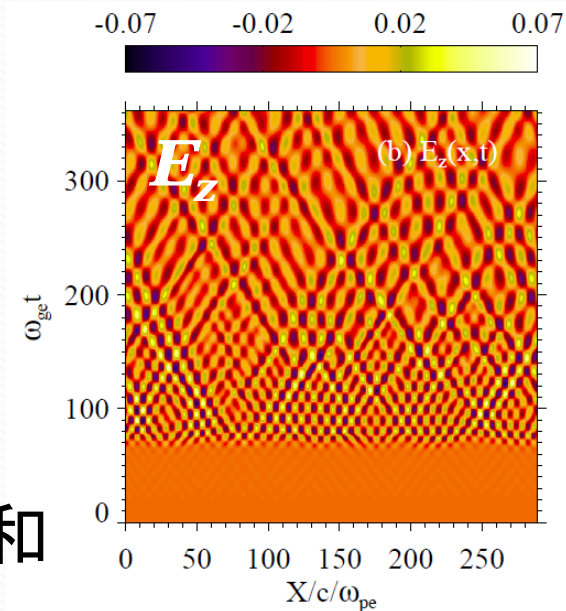
垂直伝播線形波動

- 2X2V, $128^2 \times 32^2$
- $m_p/m_e=16$, $\omega_{pe}/\omega_{ge}=2$, $\beta_e=\beta_p=0.04$, $\Delta x=1\lambda_D$



非線形波動

- 電子温度異方性不安定 (Sydora+ 2007)
 - 1X3V, 512x32³ grids
 - $\omega_{pe}/\omega_{ge}=5, \beta_e=\beta_p=1, T_{\perp}/T_{\parallel}=3, \Delta x=4\lambda_D$
- ホイッスラー波動励起 => 温度異方性緩和



まとめ

- **有限体積MMA法**: MMA法を簡略化
 - セル平均値のみのコロケート配置
 - 1次元補間を用いる有限体積法
- 性能
 - 従来より少しだけ拡散的だが、十分実用的
 - コーディングは非常に単純で、デバッグ・メンテナンスも楽
- ブラソフシミュレーションに適用
 - 従来よりロバストで、安定性向上